

The Metallographer's Role in Damage Analysis

Die Rolle der Metallographen in der Schadensuntersuchung

G. Weilhammer

Translation: E. Engert

Abstract

The metallographer's role is of extraordinary importance when clarifying cases of damage. This statement is documented by means of an example of corrosion damage on a brewery pipe.

Several different methods have been applied in order to provide for a final result, such as emission spectroscopy analysis, examination of damage areas under the scanning electron microscope including an examination of coatings by means of EDX analysis and examination of the metallographic section.

The comprehensive formation of a metallographer allows for a responsible examination and a summary of results that provides for an overall picture to clarify beyond doubt the cause of the damage.

Kurzfassung

Bei der Klärung von Schadensfällen ist die Rolle der Metallographen außerordentlich wichtig. Dies wird dokumentiert am Beispiel eines Korrosionsschadens an einer Rohrleitung einer Brauereianlage.

Hier wurden verschiedene Methoden wie Emissionsspektralanalyse, Untersuchung der Schadensbereiche am Rasterelektronenmikroskop mit Überprüfung der Beläge mittels EDX-Analyse und Schliffuntersuchung angewandt, um zu einem abschließenden Ergebnis zu kommen.

Die umfassende Ausbildung der Metallographen erlaubt es, eine solche Untersuchung verantwortlich durchzuführen und die Ergebnisse zu einem Gesamtbild zusammenzufassen, um die Schadensursache zweifelsfrei zu klären.

1. Preliminary Remark

In times in which production processes have to be more and more low-priced in order to withstand a constant competitive pressure, more cases of damage occur. These events of damage are caused by low quality materials, improper processing or insufficient formation of the "qualified personnel".

1. Vorbemerkung

Gerade heute, da immer preisgünstiger gefertigt werden muss, um dem ständigen Konkurrenzdruck standzuhalten, ereignen sich immer mehr Schadensfälle durch minderwertiges Material, unsachgemäße Verarbeitung oder unzureichende Ausbildung des „Fachpersonals“.

That is why it is of particular importance to employ qualified and well formed personnel for damage analysis in order to quickly achieve comprising and realistic results and thus avoid/prevent further events of damage.

A metallographer's formation does not just comprise the examination of metallographic sections of various materials. It also comprises all other examination methods such as spectral analyses, analyses by means of scanning electron microscopes, hardness tests and all types of non-destructive and destructive material testing.

In addition to that, most of the experienced metallographers are able to assess larger contexts of damage causes and to determine the necessary extent of examinations.

The following event of damage is an example for a comprehensive examination aiming at identifying the cause of the damage and at preventing further damage.

Deshalb ist es besonders wichtig, im Rahmen der Schadensuntersuchung qualifiziertes und gut ausgebildetes Personal einzusetzen, um möglichst schnell zu einem umfassenden und realitätsnahen Ergebnis zu gelangen und damit weitere Schadensfälle zu vermeiden bzw. solchen vorzubeugen.

In der Ausbildung der Metallographen ist nicht nur die Untersuchung von metallographischen Schliffen an allen denkbaren Werkstoffen enthalten, sondern auch alle weiteren Untersuchungsmethoden wie Spektralanalysen, Rasterelektronenmikroskopuntersuchungen, Härteprüfungen und alle Arten von zerstörungsfreien und zerstörenden Werkstoffprüfungen.

Darüber hinaus sind die meisten erfahrenen Metallographen in der Lage, übergreifende Zusammenhänge im Hinblick auf die Schadensentstehung zu beurteilen und den erforderlichen Prüfumfang festzulegen.

Der folgende Schadensfall ist ein Beispiel für eine umfassende Untersuchung zur Klärung der Schadensursache und zur Vermeidung weiterer Schäden.

2. Case of Damage: Corrosion Damage on a Brewery Pipe

The present damage caused leakages on a brewery pipe. After visual inspection, the leakage can be attributed to ramified cracks in transverse direction.

The medium in the pipe was beer and a cleaning agent consisting of a 2–2.5% caustic soda NaOH at temperatures of up to 85 °C and 1–1.5% phosphoric acid at temperatures up to 30 °C.

2. Schadensfall: Korrosions-schaden an Rohrleitung aus Brauereianlage

Bei dem vorliegenden Schaden waren an einer Rohrleitung im Bereich einer Brauereianlage Undichtigkeiten aufgetreten. Nach dem äußerem Augenschein sind die Undichtigkeiten zurückzuführen auf quer verlaufende, verästelte Risse.

Das Medium in der Rohrleitung war Bier bzw. Reinigungsmittel, bestehend aus Natronlauge NaOH 2–2,5%ig bei bis zu 85 °C und Phosphorsäure 1–1,5%ig bei bis zu 30 °C.



Fig. 1: Outer surface of the pipe with coatings and place of damage (encircled) $\approx 1:3$

Bild 1: Rohraußenseite mit Belägen und Schadensstelle (eingekreist) ca. 1:3

The medium around the pipe can be described as follows:

- damp cellar
- possible contact with rust from steel girder S235 (St37)
- Cleaning agent: alkaline and acid foam (containing chloride up to the year 2008).

The client specified 1.4301 (X5CrNi18-10) as material of the pipe.

Two pipe sections with cracks have been delivered for an examination in the laboratory (Figs. 1-4). After a first visual check, the cracks have been



Fig. 2: Detail from image 1: place of damage with crack field $\approx 3:1$

Bild 2: Ausschnitt aus Bild 1: Schadensstelle mit Rissfeld ca. 3:1

Das Medium außen war wie folgt:

- feuchter Keller
- möglicher Kontakt auch mit Rost aus Stahlträger S235 (St37)
- Reinigungsmittel alkalischer und saurer Schaum (bis 2008 chlorhaltig).

Als Werkstoff für die Rohrleitung war vom Auftraggeber 1.4301 (X5CrNi18-10) angegeben.

Zur Untersuchung im Labor wurden zwei rissbehafte Rohrabschnitte angeliefert (Bilder 1-4), bei denen nach dem ersten Augenschein die Risse geöffnet



Fig. 3: Another location on the outer surface of the pipe with coatings and places of damage (circle) $\approx 1:3$

Bild 3: Andere Stelle der Rohraußenseite mit Belägen und Schadensstelle (Kreis) ca. 1:3



Fig. 4: Detail from image 3: place of damage with crack field $\approx 3:1$

Bild 4: Ausschnitt aus Bild 3: Schadensstelle mit Rissfeld ca. 3:1

opened and the corrosion products have been secured for subsequent electron beam microanalysis by means of a scanning electron microscope.

After a first visual check of the damage on the presented pieces by the specialist department in cooperation with a leading metallographer the following extent of examinations has been determined:

- Material test by means of emission spectral analysis
- Examination of crack areas under the scanning electron microscope in order to clarify damage characteristics including examination of the corrosion products by means of EDX analysis
- Metallographic examination of different locations in the damage area

und die Korrosionsprodukte gesichert wurden, um sie später am Rasterelektronenmikroskop mittels Elektronenstrahlmikroanalyse zu untersuchen.

Nach der ersten Sichtung des Schadens an den vorgelegten Schadensteilen durch die Fachabteilung unter Mitwirkung der leitenden Metallographin wurde folgender Untersuchungsumfang festgelegt:

- Werkstoffüberprüfung mittels Emissionsspektralanalyse
- Untersuchung der Rissflächen am Rasterelektronenmikroskop zur Klärung der Schadenscharakteristik einschließlich der Überprüfung der Korrosionsprodukte mittels EDX-Analyse
- Metallographische Untersuchung im Schadensbereich an verschiedenen Stellen

3. Examination Results

The pipe material has spectrometrically been analyzed by a qualified materials tester. Here, the device had to be standardized beforehand by means of calibration samples in order to guarantee for the measurement results to be unambiguous and correct.

The result of the complete emission spectrometry analysis of the pipe material in wt.% can be found in the following table.

One of the two crack fields has been split open and the crack area has been examined under the scanning electron microscope (SEM). For this case, the examination has been carried out and evaluated by an experienced metallographer with long-term experience in using SEM.

3. Ergebnisse der durchgeführten Untersuchungen

Der Rohrwerkstoff wurde durch einen ausgebildeten Werkstoffprüfer spektrometrisch analysiert, wobei im Vorfeld das Gerät mittels Eichproben standardisiert werden musste um sicherzustellen, dass die Messergebnisse eindeutig und richtig sind.

Das Ergebnis der emissionsspektrometrischen Vollanalyse des Rohrwerkstoffes in Gew.-% ist der nachfolgenden Tabelle zu entnehmen.

Eines der beiden Rissfelder wurde aufgebrochen und der Rissbereich am Rasterelektronenmikroskop (REM) untersucht. Die Untersuchung wurde in diesem Fall durch eine ausgebildete Metallographin mit langjähriger Erfahrung am REM durchgeführt und ausgewertet.

Element	C	Si	Mn	P	S	Cr	Ni	Mo	Ti	Cu
Wt.%	0,04	0,67	1,48	0,034	0,007	17,30	9,27	0,34	0,023	0,41
Target 1.4301	≤0,07	≤1,0	≤2,0	≤0,045	≤0,015	17,5–19,5	8,0–10,5	-	-	-

The damage is attributed to intergranular stress corrosion originating from the outer surface of the pipe. It was noticeable that also the pipe surface was affected by severe intergranular damages (Fig. 5). Here, individual grains also exhibit needle-shaped deformation structures (Fig. 6).

The coatings on the crack area and on the outer surface of the pipe have been examined by electron

Es handelt sich dabei um interkristalline Spannungsrißkorrosion, ausgehend von der Rohraußenseite. Es fiel dabei auf, dass auch die Rohroberfläche bereits stark interkristallin geschädigt war (Bild 5). Hier waren in einzelnen Körnern auch nadelförmige Verformungsstrukturen zu erkennen (Bild 6).

Die Beläge auf der Rissfläche und auf der Rohroberfläche wurden mittels Elektronenstrahlmikroana-

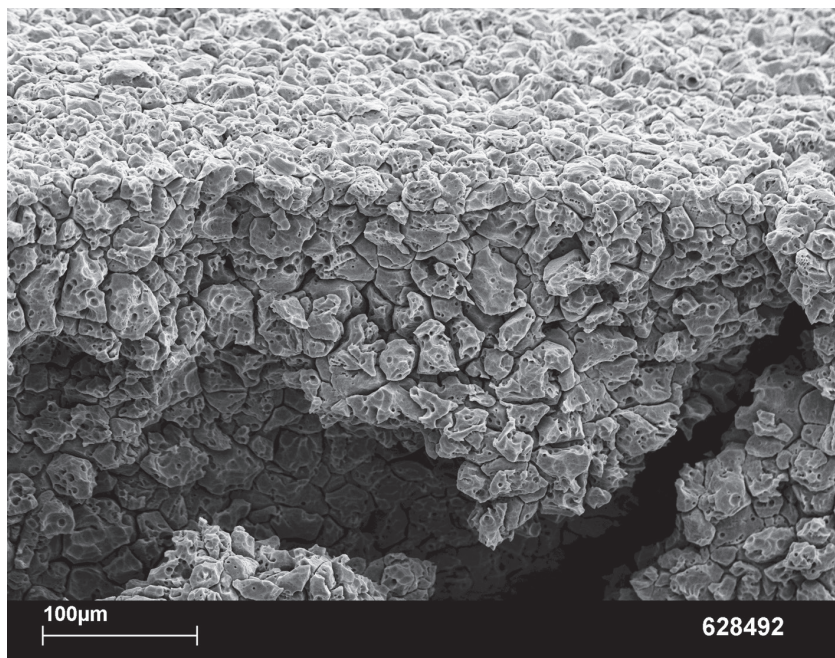


Fig. 5: Detail from crack area, surface intergranular pickled image: 250:1

Bild 5: Ausschnitt Rissbereich, Oberfläche interkristallin angebeizt Aufn.: 250:1

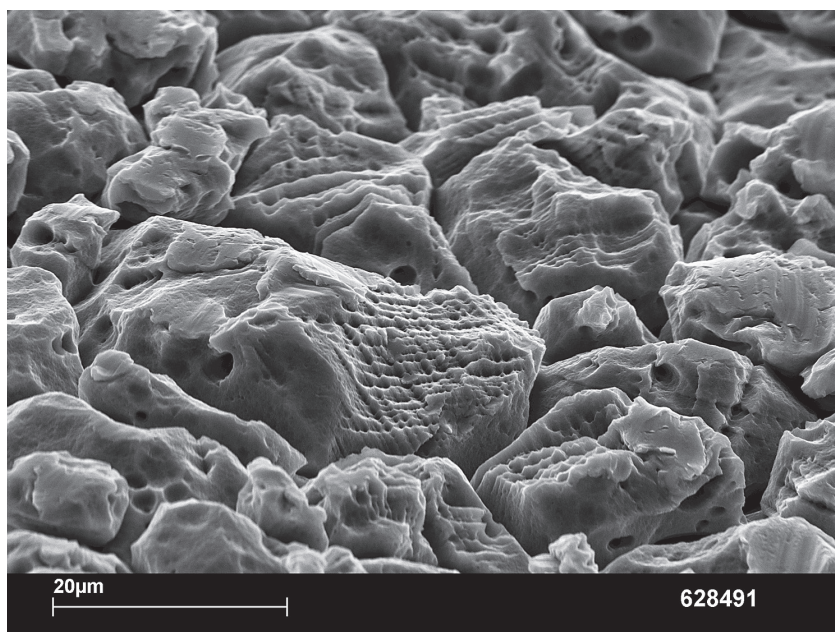


Fig. 6: Intergranular pickled surface with slip lines in the grains image: 2000:1

Bild 6: Interkristallin angebeizte Oberfläche mit Gleitlinien in den Körnern Aufn.: 2000:1

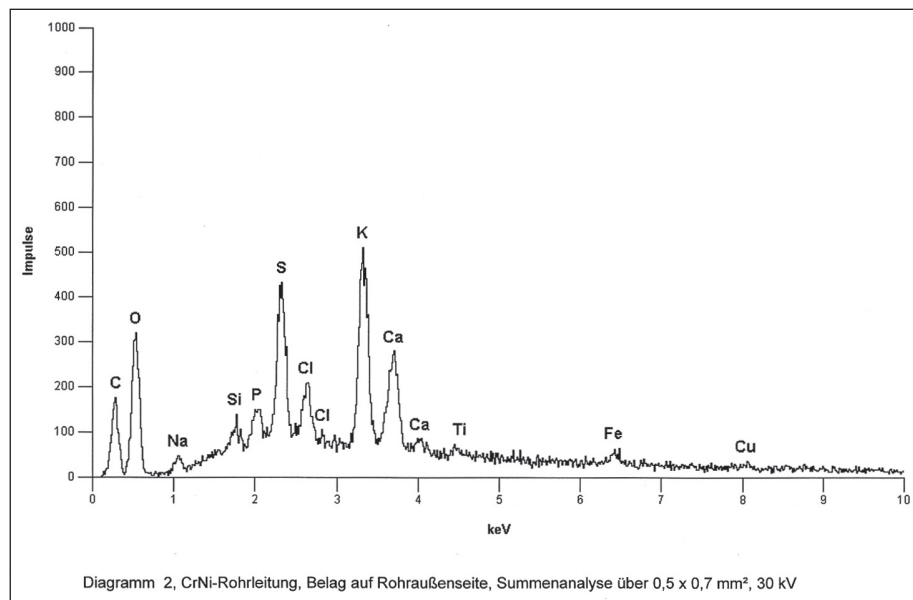


Fig. 7: EDX analysis of the coatings on the outer surface of the pipe

Bild 7: EDX-Analyse des Belages auf der Rohraußenseite

beam microanalysis (EDX). Besides relatively high K, S, O, Ca and C content values, proportions of Cl, P and S as well as traces of Na, Ti, Fe and Cu could be found (Fig. 7).

Microsections have been taken of the crack fields from the boundary areas in longitudinal pipe direction for metallographic examination.

The microstructure of the pipe materials consists of austenite with isolated δ -ferrite cells (Fig. 14). On the outer surface of the pipe cold deformed areas with deformation martensite are locally visible (Figs. 11, 12, and 13). The cracks can partially be attributed to transgranular and intergranular stress corrosion, originating from the outer surface of the pipe (Figs. 8, 9 and 10).

lyse (EDX) überprüft. Es waren dabei neben relativ hohen K-, S-, O-, Ca- und C-Anzeigen Anteile von Cl, P und S sowie Spuren von Na, Ti, Fe und Cu festzustellen (Bild 7).

Aus den Endbereichen der Rissfelder wurden Mikroschliffe in Rohrlängsrichtung zur metallographischen Untersuchung entnommen.

Das Gefüge der Rohrwerkstoffe besteht aus Austenit mit vereinzelten δ -Ferritzeilen (Bild 14). An der Rohraußenseite sind örtlich kaltverformte Bereiche mit Verformungsmartensit erkennbar (Bilder 11, 12 und 13). Bei den Rissen handelt es sich um teilweise trans-, teilweise interkristalline Spannungsrißkorrosion, ausgehend von der Rohraußenseite (Bilder 8, 9 und 10).

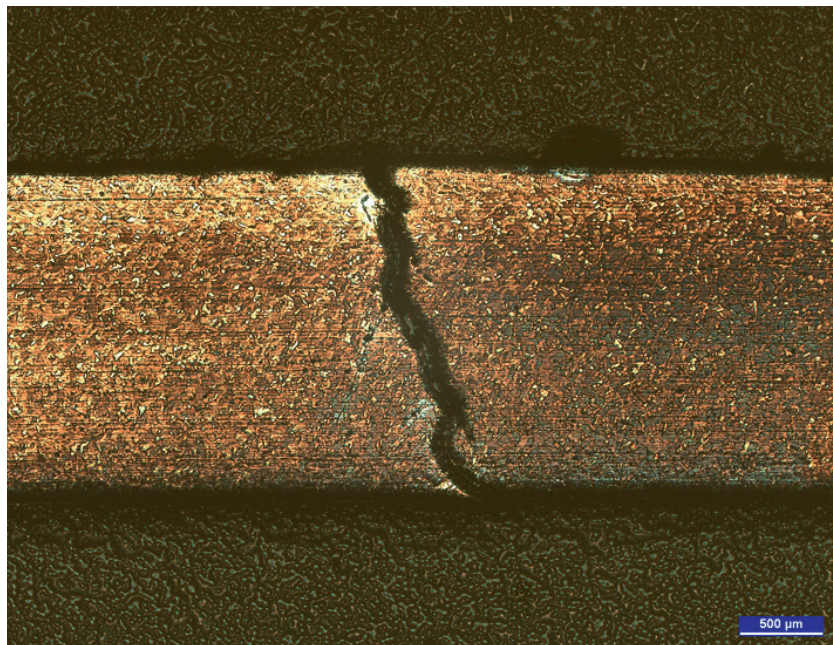


Fig. 8: Crack area in longitudinal section, overview, Image 12,5:1, Etchant: Beraha II

Bild 8: Rissbereich im Längsschliff, Übersicht, Aufnahme 12,5:1, Ätzmittel: Beraha II

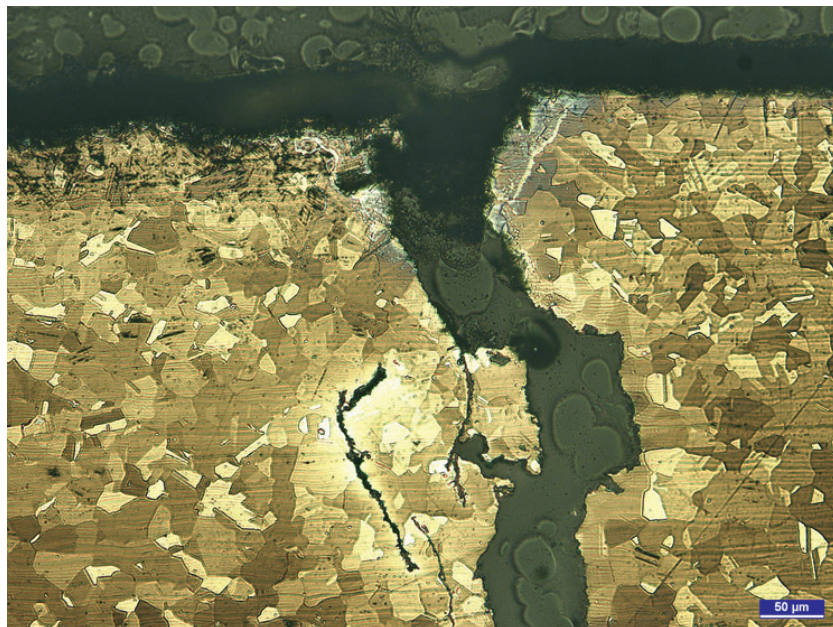


Fig. 9: Detail crack area outer surface of the pipe, Image 100:1, Etchant: Beraha II

Bild 9: Ausschnitt Rissbereich Rohraußenseite Aufnahme 100:1, Ätzmittel: Beraha II



Fig. 10: Additional detail crack area, transgranular and intergranular cracks, Image 100:1, Etchant: Beraha II

Bild 10: Weiterer Ausschnitt Rissbereich, trans- und interkristalline Risse, Aufnahme 100:1, Ätzmittel: Beraha II

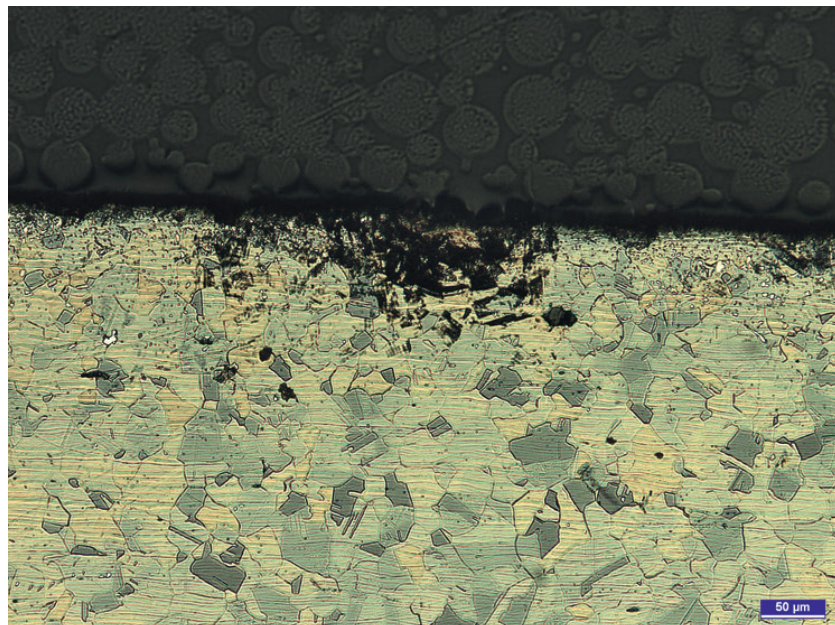


Fig. 11: Punctiform cold deformation on the outer surface of the pipe, Image 100:1 Etchant: Beraha II

Bild 11: Punktformige Kaltverformung an der Rohroberfläche außen, Aufnahme 100:1, Ätzmittel: Beraha II

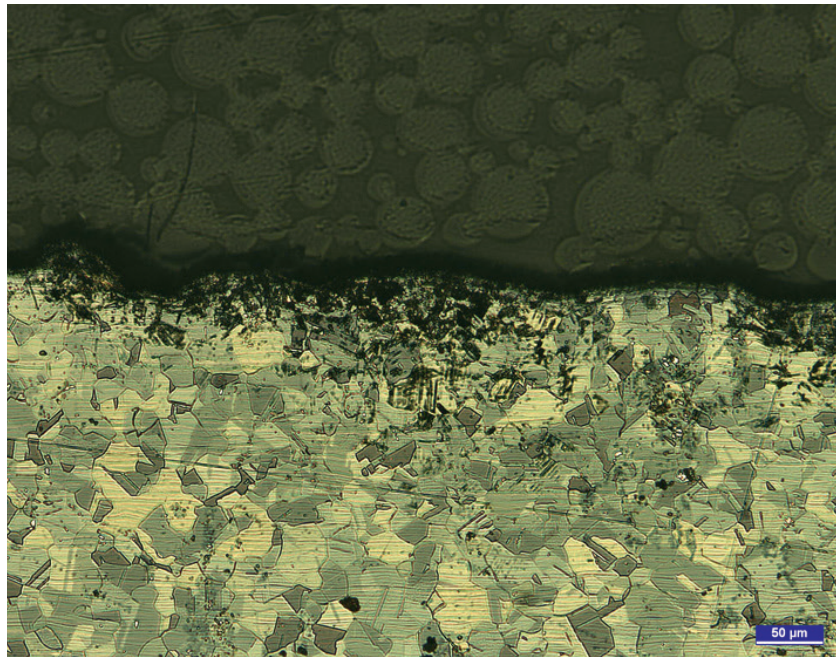


Fig. 12: Extensive cold deformation on the outer surface of the pipe, Image 100:1, Etchant: Beraha II

Bild 12: Großflächige Kaltverformung an der Rohroberfläche außen, Aufnahme 100:1, Ätzmittel: Beraha II

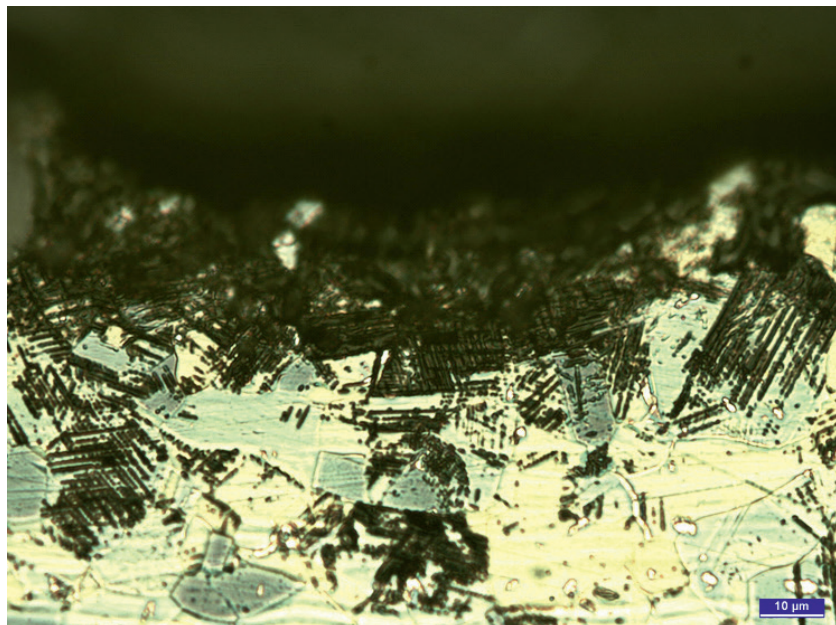


Fig. 13: Detail from image 11: deformation martensite on the surface, needle-shaped, Image 500:1, Etchant: Beraha II

Bild 13: Ausschnitt aus Bild 11: Verformungsmartensit an der Oberfläche, nadelförmig, Aufnahme 500:1, Ätzmittel: Beraha II

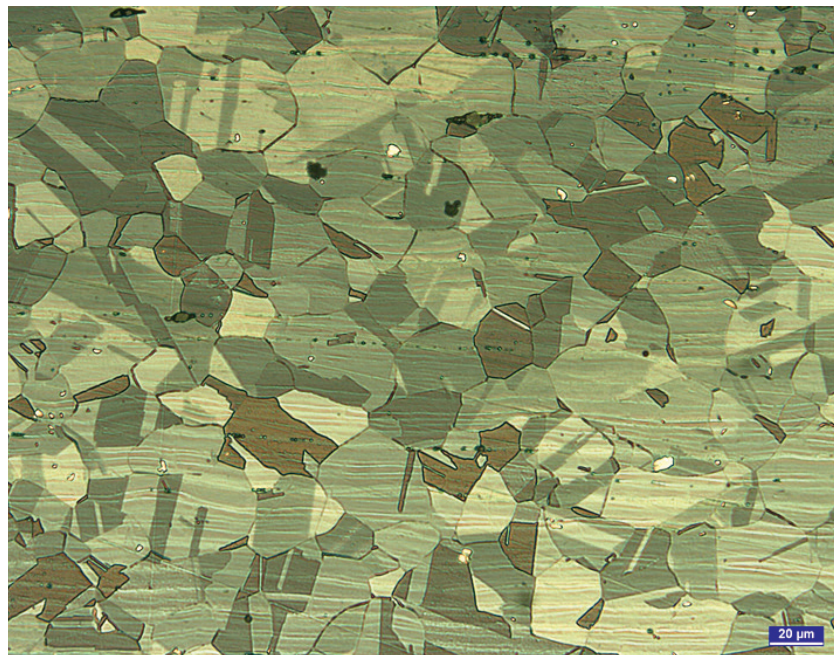


Fig. 14: Microstructure of the pipe material austenite with low δ -ferrite content, Image 200:1, Etchant: Beraha II

Bild 14: Gefüge Rohrwerkstoff Austenit mit wenig δ -Ferrit, Aufnahme 200:1, Ätzm.: Beraha II

4. Summary and Evaluation

The present damage can mainly be attributed to intergranular stress corrosion, originating from the outer surface of the pipe, whereby local cold deformations have probably promoted the damage formation.

The damage has been caused by media containing S and Cl, which have concentrated on the pipe surface in the area of mineral coatings containing K and Ca. These could possibly be residuals of cleaning agents and other harmful substances in humid atmosphere.

No residuals of foreign metal, e.g. rust from steel girder, were visible.

The present pipe material is – as specified – a 1.4301 (X5CrNi18-10) according to DIN EN 10 088, whereby the Cr content was lower than the requested nominal value.

4. Zusammenfassung und Beurteilung

Bei dem vorliegenden Schaden handelt es sich um vorwiegend interkristalline Spannungsrißkorrosion, ausgehend von der Rohraußenseite, wobei örtliche Kaltverformungen die Schadensentstehung begünstigt haben dürften.

Der Schaden wurde ausgelöst durch S- und Cl-haltige Medien, die sich an der Rohroberfläche im Bereich von K- und Ca-haltigen, mineralischen Belägen aufkonzentriert haben. Dabei könnte es sich um Rückstände von Reinigungsmitteln und anderen Schadstoffen in feuchter Atmosphäre gehandelt haben.

Rückstände von Fremdmetall, z.B. Rost aus einem Stahlträger waren nicht erkennbar.

Bei dem vorliegenden Rohrwerkstoff handelt es sich – wie angegeben – um einen 1.4301 (X5CrNi18-10) nach DIN EN 10 088, wobei der Cr-Gehalt etwas unter dem geforderten Sollwert lag.

A material of this kind is not optimally suited for the given application. In this case, a Mo containing CrNi steel such as the type 1.4571 (X6CrNiMoTi17-12-2) or a 1.4404 (X2CrNiMo17-12-2) can be recommended.

Ein Werkstoff dieser Art ist für den gegebenen Anwendungszweck nicht optimal geeignet. Hier ist ein Mo-haltiger CrNi-Stahl etwa der Art eines 1.4571 (X6CrNiMoTi17-12-2) oder eines 1.4404 (X2CrNi Mo17-12-2) zu empfehlen.

5. Closing Remark

Beside the engineering approach to the damage examination presented here, several evaluation aspects – particularly in microstructural analysis – require a qualified metallographer. The cold deformation, for example, which affects the damage formation on the pipe's surface is only recognizable by means of a metallographic section.

5. Abschließende Bemerkung

Neben den durchaus ingenieursmäßigen Tätigkeiten im Zusammenhang mit der geschilderten Schadensuntersuchung gibt es – gerade in der Gefügeauswertung – einige Punkte, deren Auswertung eine/n versierte/n Metallographen/in verlangt. So ist z.B. die schadensbeeinflussende Kaltverformung an der Rohroberfläche nur durch den metallographischen Schliff erkennbar.

Index

Sachregister

Symbols

1.0503 81
1.4005 191
1.4031 392, 396
1.4122 392, 395
1.4301 5, 12, 148, 155, 172, 200
1.4404 13
1.4539 159, 180
1.4541 109, 111, 172, 392
1.4571 13, 40, 76, 204
1.4923 221, 338, 345
1.5415 97, 333, 401
1.6541 35
1.6582 352
1.7231 333
2.4630 263
2.4632 262
2.4663 348
2.4665 316
2.4668 131, 270
2.4856 308, 348
2.4952 88
3d microscope 364
3D printing 399
16Mo3 97, 401
23MnNiCrMo5-2 35
34CrNiMo6 352
316Ti 40, 204

A

additive manufacturing 307, 398
ageing 24
Ageing Tests 281
agent after Fry 27
AISI 304 148, 172
AISI 321 109, 111, 172, 200, 392
AISI 904L 180
Alloy 247 LC CC 298
Alloy 617 281, 348
Alloy 625 308, 348

Symbole

1.0503 81
1.4005 191
1.4031 392, 396
1.4122 392, 395
1.4301 5, 12, 148, 155, 200
1.4404 13
1.4539 159, 180
1.4541 109, 111, 172, 392
1.4567 172
1.4571 13, 40, 76, 204
1.4923 221, 338, 345
1.5415 97, 333, 401
1.6541 35
1.6582 352
1.7231 333
2.4630 263
2.4632 262
2.4663 348
2.4665 316
2.4668 131, 270
2.4856 308, 348
2.4952 88
3D-Druck 399
3D-Mikroskop 364
16Mo3 97, 401
23MnNiCrMo5-2 35
34CrNiMo6 352
316Ti 40, 204

A

Ablagerungen 272
additive Fertigung 269, 398
additives Herstellungsverfahren 307
AISI 304 148
AISI 304Cu 172
AISI 321 109, 111, 172, 200, 392
AISI 904L 180
Alitierung 101
Alloy 247 LC CC 298
Alloy 617 281, 348

Alloy 718 270, 349
Alloy 904L 159, 180
Alloy X-750 349
alternating bending stress 47, 77
alternating-stress phenomenon 43
aluminizing layer 101
AM 307
AM-built burner tip 269
AM see additive manufacturing
angle irons 19
as-built condition 277
ASTM A 48 Class 30 119
austenite 8
austenitic steels 293

Alloy 625 308, 348
Alloy 718 270, 349
Alloy 904L 159, 180
Alloy X-750 349
Allzweckgreifer 67
Alterung 24
AM 269
AM siehe additive Fertigung
Anhebepoller 327
Anschräglung der Außenoberfläche 322
As-built-Zustand 277
ASTM A 48 Class 30 119
Ätzmittel nach Fry 27
Aufreißungen 57
Aufstickung 167
Auslagerungsversuche 281
Auslegungsfehler 128
Austenit 8
austenitische Stähle 293

B

bainite 34
beach marks 43, 84, 214, 222, 365, 391
bending strength 70
bending stress 73
Bolt 169
Brackets 255
braze process 313
break-ups 57
brewery pipe 3f.
brittle fracture morphology 33
brittle overload failure 182
Bulk Analysis 22
bulk melting 322
Burner Feeder Line 95
burnt hole 274
burn-through area 273

Bainit 34
Befestigungselemente 255
Biegefestigkeit 70
Biegeschwellbeanspruchung 47, 73
Biegeüberbeanspruchung 37
Biegewechsel 43
Biegewechselbeanspruchung 39, 153
Biegewechselbelastung 77
Blechwerkstoff 321
Brandloch 274
Brauereianlage 3f.
Brennerkopf 269
Brennerzuführung 95
Brennkammer 256
Bruchbahnen 99
Bruchfläche 56
Bruchlastspielzahl 155
Bruchmerkmale 44, 99
Bruchmorphologie 33
Bruchoberflächen 364
Bruchverhalten 45
Bulk-Analyse 22

C

C45 81
case-hardening 69
casting defect 127
cast iron 119
cathodic SCC 197
Center Guide Bolt Supporting 219
check for surface cracks 209

C45 81
Charpy V-notch 282
Chromcarbidausscheidungen 281, 288, 319
Chromkarbidausscheidung 395
Chromverarmung 394
Collars 110
Computertomographie 375

chromium carbide precipitates 288, 319
 chromium carbide precipitation 281, 395
 chromium depletion 394
 cleaning process 167
 cleavage fracture 186, 190
 Coal Gasification Burner 269
 coarse grain 60
 coefficient of friction 228
 coefficient of thermal expansion 401
 cold deformation 10, 12f.
 cold forming 179
 collars 110
 combined action of sources 128
 combustion chamber 256
 Compressor Disk 245, 403
 Computed Tomography 375
 contact corrosion 349, 396, 398
 contact fatigue 229
 cooling passages 276
 cooling system 278
 cooling water system 269
 Corrosion Cracking 337
 corrosion damage 3
 corrosion failures 157
 corrosion performance 155
 corrosion resistance 397
 corrosive agent 398
 crack initiation 43, 70
 crack initiation sites 140
 crack propagation 127, 229
 creep damage 261, 265
 creep strength 400
 crow feet 357
 CVN 282
 CVN impact test 25
 CVN specimen 89

D

dampening pins 388
 DDC 294
 decarbonization 57
 decarburization 105
 defects 133
 deformation martensite 11, 110
 deformation of microstructure
 34
 δ -ferrite 8
 deposits 272
 design error 73, 397
 Design Flaw 128
 DIN 17223 139
 DIN 17440 191
 DIN EN 10 088 12
 dry friction 217

CTE siehe Wärmeausdehnungskoeffizient
 CVN-Probe 89

Dämpfungsbolzen 388
 Dauerfestigkeit 105
 DDC 294
 Dehnungsbehinderung 301
 Dehnungstoleranz 278
 Dekohäsion
 - wasserstoffinduzierte 346
 δ -Ferritzellen 8
 Designfehler 397
 Dichtblechnut 211
 DIN 17223 139
 DIN 17440 191
 DIN EN 10 088 12
 Drahtseile 143
 Drehvorrichtung 119
 Druckpulsationsdämpfer 51

ductility 24
Ductility Dip Cracking 294

Ductility dip cracking 294
Duktilität 24
Durchbrandbereich 273

E

EBSD 115
EDS chromium map 292
EDS molybdenum map 293
EDS spectrum 135, 178, 344
EDX analysis 3, 8
EDX spot analysis 36
electric mobility 143
Electron Backscatter Diffraction 115
electron microscope 6
embrittlement 335
- by age hardening 29
embrittling mechanism 287
emission spectral analysis 6
EN 10088-3 191
EN 10293 333
EN 25817-B 41
Engineering Model 272
EN-GJS-400 128
Erosion Damage 237
excessive dynamic service loading 104
Exhaust Casing 107
experimental part 297

EBSD 115
EDX-Analyse 3, 8
EDX-Elementverteilungsbild 292
EDX-Punktanalyse 36
EDX-Spektrum 135, 178, 344
EDX-Stickstoff-Mapping 165
Eigenspannungen 294, 313, 325, 400, 402
Eindringprüfung 53
Einsatzhärtung 69
Elektromobilität 143
Elektronenrückstreubeugung 115
Elektronenstrahlmikroanalyse 6
Emissionsspektralanalyse 6
EN 10088-3 191
EN 10293 333
EN 25817-B 41
EN-GJS-400 128
Entkohlung 57, 105
Entlüftungsstutzen 51
Erdgasverdichter 51, 73
Ermüdung 39, 44, 125
- thermomechanische 264
Ermüdungsbruch 45, 391
Ermüdungsrissbildung 119
Erosionsschaden 237
Erstarrungsrissbildung 312
Erstarrungsrisse 62, 307, 372
Erstmusterprüfung 110

F

FAI 110
failure mechanism 227, 230, 264, 293
failures due to Thermal Overload 253
failures due to Tribological Loading 207
Fastener 351
fatigue 106
fatigue crack 51
fatigue cracking 119
fatigue failure 391
fatigue fracture 45, 73, 364
- low cycle 137
fatigue fracture surface 213
fatigue strength 105
fatigue striations 45, 100, 365, 368
field emission guns 370
field emission SEM 44
Fillet Pieces 107

Farbeindringprüfung 41, 202
Fehldeutung 131
Fehlmaterial 246
Fehlstellen 133
Feldemissionsquellen 370
Feldemissions-REM 44
Fixiernut 211
Flankenbindefehler 62
Fluchtungsfehler 142
Flüssigmetallversprödung 313
Flyerkette 67
FOD 384
Fraktographie 363
Fremdkörperbeschädigung 384
Führungsbolzen 219

fillet radii 108
 fillet radius 126, 129
 first article inspection 110
 First Stage Vane 297
 fixing groove 211
 flawed material 246
 FOD 384
 forced final rupture 391
 Foreign Object Damage 384
 fractography 363
 fracture behavior 45
 fracture features 44, 99
 fracture surface 56, 364
 fretting damage 228
 Fretting Fatigue Cracking 209, 219
 fretting zone 211, 223
 fusion line 41

G

G16Mo3 333
 G42CrMo4 333
 GB shrinkage pores 322
 GG20 119
 Gland Seal 181
 grain boundary liquation 323
 grain growth 102, 105

G

G42CrMo4 333
 Gefügeverformung 34
 Gehäuseauskleidung 107
 Gewaltbruch 182
 Gewaltbrüche 364
 Gewindegelenk 79
 GG20 119
 Gleitbänder 113
 Glimmentladungsspektroskopie 35
 Grobkorn 60
 Großgasturbine 39
 Gusseisen 119
 Gussfehler 127

H

hammering patterns 217
 hardness gradient 25
 hardness test 4
 HASCC 191
 Hastelloy Alloy X 316
 Hastelloy X 348
 HCF 219
 HCF cracking 47
 HCF failure 44, 100
 heat shields 255
 heat treatment 89, 395
 heat treatment operations 315
 heat treatments 118
 heavy-duty Gas Turbine Engine 95
 HEDE 346
 Helical Tension Spring 137
 HELP 346
 hematite 276
 high cycle fatigue 76

H

Härtetestung 4
 Haftvermittlerschicht 302
 Haltering 392
 Hämatit 276
 Härteverlauf 25
 Hartlötverbindungen 307
 Hartlötverfahren 313
 Hartmetall-Wendeschneidplatte 135
 HASCC 191
 Hastelloy Alloy X 316
 Hastelloy X 348
 HCF 219
 HEDE-Mechanismus 346
 Heißriss 62
 Heizölvermischbrennerdüsen 337
 HELP 346
 HISCC 345
 Hitzeschild 255
 Hochtemperaturkorrosion 257

high cycle fatigue cracking
39
high temperature alloys 262
HISCC 345
hoop stress 401
hot corrosion 257
hot crack 62
hot cracking mechanism 331
hydrogen embrittlement 188, 191
Hydrogen Enhanced Decohesion 346
Hydrogen Enhanced Local Plasticity 346
hydrogen miscellaneous 361

Hochtemperaturlegierungen 263
hochzyklische dynamische Beanspruchung 76
hochzyklisches Ermüdungsversagen 100

Impeller 237
Impingement Cooling Plates 315
incubation period 231
indexable carbide insert 135
industrial steam turbine engine 88
In situ Engine Diagnostics 367
inter-crystalline network of cracks 161
Intergranular Attack 190
intergranular corrosion 159, 393
intergranular stress corrosion 7
ISO 3677 308

Industriedampfturbine 88
Industriegasturbine 95
Inkubationszeit 231
In-situ Messtechnik 367
interkristalline Korrosion 393
interkristalline Spannungsrißkorrosion 7
Interkristallines Rissnetzwerk 161
ISO 3677 308

K

Kaltumformung 179
Kaltverformung 10, 12 f.
Kerbeffekt 401
Kerbschlagbiegeversuch 25
Kerbwirkung 47, 57
Kohlevergasungsbrenner 269
Kompressorschraube 403
Konstruktionsfehler 73
Kontaktermüdung 229
Kontaktkorrosion 349, 396, 398
Korngrenzenoxidation
– spannungsunterstützte 259
Korngrenzfilme 323
Kornwachstum 102, 105
Kornzerfall 159, 190
Korrosionsbeständigkeit 397
Korrosionsschaden 3
Korrosionsschaden an Rohrleitung 4
Korrosionsverhalten 155
korrosiver Wirkstoff 398
Krähenfüße 357
Kriechfestigkeit 400
Kriechporen 261
Kriechschäden 265
Kühlkanäle 276

L

Laboratory Fractures 189
 lack of side fusion 62
 lamellar tearing 182, 187
 lashing-load ring of a heavy-duty gas turbine 31
 LCF 122, 139, 143, 146
 LCF fracture 83
 Lifting Lugs 327
 liquation crack 321, 371
 liquid metal embrittlement 313
 LOM 112
 longitudinal tests 23
 low-cycle fracture 83
 Lubrication 154

Kühlsystem 278
 Kühlwassersystem 270

L

Laborbrüche 189
 Längserprobung 23
 LCF 139, 143, 146
 LCF-Bruch 83
 LCF siehe low-cycle fracture
 Lebensdauererweiterung 245
 Lochkorrosion 174, 204
 LOM 112, 365
 Low Cycle Fatigue 122
 Lüfterrad 237

M

Macrofractography 55
 magnetic particle surface crack inspection 328
 material damage 161
 material embrittlement 294
 material fatigue 82
 material mix-up 396
 material selection 127, 397
 material separation 209
 material testing 4
 mechanical failures 15
 metallic bond coating 302
 metallographer 3
 microcavities 261
 microductility 356
 microfractography 44, 57
 Microhardness Testing 113
 micro shrinkage 329
 misalignment 142
 misinterpretation 131
 mixed grain size 91
 mixed microstructures 93
 mix-up of material 257
 MnS stringers 186
 Mock-up 272
 MT 328
 MT testing 209

M

Makrofraktographie 55
 Materialauswahl 397
 Materialermüdung 82, 106
 Metallographen 3
 Mikroduktilität 356
 Mikrofraktographie 44, 57
 Mikrohärteprüfung 113
 Mikroschärfungen 329
 Mischgefüge 93
 Mischkornausbildung 91
 MnS-Zeilen 186
 Mock-up-Modell 272
 MT-Prüfung 209
 Mutter 88

N

natural gas compressor 51, 73
NDT 132
nickel base superalloys 293, 298, 348
NiCr19NbMo 131
NiCr20Co18Ti 262
NiCr20Ti 263
NiCr20TiAl 88
NiCr22Fe18Mo 316
Nimonic alloy 90 255
nital etching 25
Nitride Segregations 26
nitriding 167
non-destructive 4
non-destructive testing 132
notch effect 47, 57, 401
nut 88

N

Nassreinigung 396
Nickelbasis-Knetlegierungen 281, 293
Nickelbasis-Superlegierung 298, 348
Nickel-Chrom-Kobalt-Knetlegierung 262
NiCr19NbMo 131
NiCr20Co18Ti 262
NiCr20Ti 263
NiCr20TiAl 88
NiCr22Fe18Mo 316
niederzyklischer Schwingbruch 83
Nimonic 75 263
Nimonic 90 255
Nitalätzung 25
Nitridausscheidungen 26

O

optical emission spectrometer 35
optical emission spectrometry 22
overload failure 125
overload fractures 364
over-torqueing 178
oxide scaling 302

O

Oberflächenfehler 59
Oberflächenrauigkeit 392
Oberflächenreinigung 305
Oberflächenrissprüfung 209, 328
Oberflächenschaden 152
Ölverteiler 39
optische Emissionsspektrometrie 22
Oxidzunder 302

P

P235 52
P265 52
pantograph 144
parallel cracks 57
penetrant testing 41, 53, 202
pipe connector 73
Pipes
- austenitic 159
Piping System 199
pitting corrosion 174
pitting resistance 204
Pitting Resistance Equivalent Number 165
plate material 321
post-SLM 402
power towers 19
PPQ 110
Premix Burner Nozzles 337
PREN 165
Pressure Pulsation Dampener 51
primary carbide precipitates 287
primary microstructure 248
Product and Process Qualification 110

P

P235 52
P265 52
Pantograph 144
Parallelrisse 57
PPQ 110
Prallkühlbleche 315
Primärcarbidausscheidungen 287
Primärgefüge 248
Produkt- und Prozessqualifikation 110
Punktanalyse 135, 259, 393

Q

quality management processes 129

R

Ratchet marks 99
RC 293
recrystallisation 93
reference laboratory fractures 192
Reheat Cracking 293
relaxation cracking 281
repair process 315
replica technique 328
residual forced fracture 83
- artificial 212
residual stresses 294, 313, 325, 400, 402
restraint 301
retaining rings 392
reversed bending 39, 43
Reversed Transferred Arc 305
RHC 293
ridge lines 75
Room Temperature Chropy V-notch Impact Test 291
Room Temperature Tensile Test 291
RTA 305
rusty residues 272

Q

Qualitätsmanagement 129

R

Rasterelektronenmikroskop 3
Rastlinien 43, 75, 84, 214, 222, 365, 391
Raumfahnenprinzip 256
Raumtemperatur-Kerbschlagbiegeversuch 291
Raumtemperatur-Zugversuch 291
Reckalterung 19
Referenzlaborbrüche 192
Reiboxidation 209, 219, 228
Reiboxidationszone 211, 223
Reibungskoeffizient 228
Reinigungsprozesse 167
Rekristallisation 93
Relaxationsrisse 281, 293
REM 365
Reparaturprozess 315
Replika-Technik 328
Restgewaltbruch 83, 391
- künstlicher 212
Rissausbreitung 127, 229
Rissausgangsort 43
Risseinleitung 70
Risseinleitungsstellen 140
Rissverlauf
- interdentritischer 311
Rohre
- austenitische 159
Rohrleitungssystem 199
Rohrverschraubung 73
Röntgen-Computertomographie 375
Röntgenfluoreszenzanalyse 40
Röntgenspektroskopie 35, 393
Rostrückstände 272
RTA 305
Rundungsradien 108

S

S 235 22
S31635 40
SAGBO 259, 265
sausage grain 92
scale residues 57
scanning electron microscope 3
SCC 174, 191, 199, 346
sealing plate 211
secondary carbide precipitates 295
selective laser melted 307

S

S 235 22
S31635 40
SAGBO 259, 265
SCC 191
Schäden durch Korrosion in Elektrolyten 157
Schäden durch mechanische Beanspruchungen 15
Schäden durch thermische Beanspruchung 253
Schäden durch tribologische Beanspruchung 207
Schadensmechanismus 293
Scherlippen 104

selective laser melting 269, 398
SEM 365, 367
Service Embrittlement 281
service life extension 245
shear lips 104
Siemens-Martin steel 28
slip bands 113
SLM 269, 307
solidification crack 62
solidification cracking 307, 311, 312
solidification cracks 372
Space Shuttle Principle 256
spot analysis 135, 259, 393
SS321 200
St 37 22
stacking faults 116
strain ageing 19
Strain-Assisted Grain Boundary Oxidation 259
strain tolerance 278
Stranded Ropes 143
stress corrosion 8
stress corrosion cracking 176, 199
stress relief cracks 293
Striations 76
sulfuric acid 345
superalloys 262
surface cleaning 305
surface damage 152
surface defects 59
surface roughness 392
swirlers 308
Swivel Arm 119

Schmierung 154
Schrauben 169, 351
Schwankungen in Herstellprozessen 129
Schwefelsäure 345
Schweißnaht 41, 52
Schweißnahtfehler 61
Schweißrauchabsaugung 239
Schweißverfahrensprüfung 160
Schwenkarm 119
Schwindungslunker 322
Schwingbruch 47, 73, 219, 364
- niederzyklische 137
Schwingbruchfläche 213
Schwingriss 51
Schwingstreifen 44, 76, 100, 365, 368
Sekundär carbidausscheidungen 295
Selective Laser Melting 269
selektive Laserschmelze 307, 398
SEM 367
Siemens-Martin-Stahl 28
SLM 269
Spaltbruch 186, 190
Spannungsarmglühen 277
Spannungsrißkorrosion 8, 176, 199, 337
Spiralzugfeder 137
SpRK 175, 197, 199, 346
SRC 293
SS321 200
St 37 22
Stahlgittermast 19
Stapelfehler 116
Stereomikroskop 42
Stopfbuchse 181
Stoßbelastungen 325
Stress Corrosion Cracking 191
Superlegierungen 262
Swirler 308

T

tensile/bending overload 37
tensile specimen 35
tensile test 24
thermal-mechanical fatigue 264, 402
thermal-mechanical fatigue cracking 398
Thomas process 20
Threaded Bolt 79
TIG-Brazed T/C Installations 307
TMF 264
TMF cracking 269
TMF cracks 273
TMF Failure 398
tool breakage 135
toughness 24
trans-granular SCC 177

T

Terrassenbruch 187
Terrassenbruchbildung 182
Thermal-Mechanical Fatigue 399
thermisch-mechanische Ermüdung 402
Thermoelementbefestigungen 307
Thermo-Mechanical Fatigue 269
Thomasverfahren 20
TMF 269
TMF-Risse 273
TMF-Schaden 398
TMF siehe thermal-mechanical fatigue
Transkristalline SpRK 177
tribologisches System 154
Trockenreibung 217

tribological system 154
 tungsten hairpin cathode 367
 turbine engine 31
 turbine wheel disk 209
 Turning Gear Assembly 119

U

ultimate tensile strength 282
 ultrasonic testing 328
 UNS32100 200
 UNS N06002 316
 UNS N06075 263
 UNS N06625 308
 UNS N07090 262
 UNS N07718 131, 270
 UNS N08904 180
 UNS S30400 148
 UNS S32100 109, 111, 172
 UTS 282

Turbinenleitschaufel 297
 Turbinenradscheibe 209

U

Überdrehmoment 178
 Übergangsformstücke 107
 Übergangsradius 126, 129
 Überlast 125
 - dynamische 104
 Ultraschallprüfung 328
 Umfangsspannung 401
 UNS32100 200
 UNS N06002 316
 UNS N06075 263
 UNS N06625 308
 UNS N07090 262
 UNS N07718 131, 270
 UNS S30400 148
 UNS S30430 172
 UNS S32100 109, 111, 172
 UT 328
 UTS 282

V

VDI guideline 3822 245, 387
 Vent Nozzle 51
 vibration 52, 228

V

VDI-Richtlinie 3822 245, 387
 Verbindungselemente 351
 Verdichterradscheibe 245
 Verformungsmartensit 11, 110
 Verhämmерung 217
 Versagensmechanismus 227, 230, 264
 Verschleiß 242
 Verschleißbeständigkeit 69
 Versprödung 281
 - durch age hardening 29
 Versprödungsmechanismus 287
 Versuchsbauteil 297
 Vibrationen 52, 228

W

wall thickness 129, 305
 wear 242
 wear-resistance 69
 weld defect 61
 welding fume extraction system 239
 weld procedure testing 160
 wet cleaning 396
 white etching layers 230

W

Wandstärke 129, 305
 Wärmeausdehnungskoeffizient 401
 Wärmebehandlung 89, 118, 395
 Wärmebehandlungsvorgänge 315
 Warmrisse 331
 Wasserstoffversprödung 188, 191, 335
 Wechselbelastung 43
 Wendeschneidplattenbruch 131

Werkstoffauswahl 127
Werkstoffprüfung 4
Werkstoffschädigung 161
Werkstofftrennung 209
Werkstoffversprödung 281, 294
Werkstoffverwechslung 257, 396
Werkzeugbruch 135
white etching layers 230
Wiederaufschmelzungsriss 321, 371
Wirksumme 165
Wolfram-Haarnadelkathode 367
Wurstkorn 92

X

X1NiCrMoCu25–20–5 159, 180
X2CrNiMo17–12–2 13
X5CrNi18–10 5, 12, 172
X5CrNiMoTi17–12–2 40
X5CrNiMoTi17–12–2 AISI 316Ti 76
X6CrNiMoTi17–12–2 13
X6CrNiMoTi17–12–2 204
X6CrNiTi18–10 109, 111, 172, 392
X6CrNiTi18–10 200
X12CrS13 191
X22CrMoV12–1 221
X22CrMoV12–1 338, 345
X39Cr13 392, 396
X39CrMo17–1 392
X39CrMo17–1 395
XCT 375
X-ray computed tomography 375
X-ray fluorescence analysis 40
X-ray spectroscopy 35, 393

X

X1NiCrMoCu25–20–5 159, 180
X2CrNi Mo17–12–2 13
X3CrNiCu18–9–4 172
X5CrNi18–10 5, 12, 148
X5CrNiMoTi17–12–2 40
X5CrNiMoTi17–12–2 AISI 316Ti 76
X6CrNiMoTi17–12–2 13
X6CrNiMoTi17–12–2 204
X6CrNiTi18–10 109, 111, 172, 392
X6CrNiTi18–10 200
X12CrS13 191
X22CrMoV12–1 221
X22CrMoV12–1 338, 345
X39Cr13 392, 396
X39CrMo17–1 392
X39CrMo17–1 395
XCT 375

Y

yield strength 282
YS 282
Y-shaped Pipe 398

Y

Y-förmiges Gaszuführrohr 398
YS 282

Z

- Zähigkeit 24
- Zeitstandsschäden 261
- zerstörungsfreie Prüfungen 4, 132
- ZFP 132
- Zugbänder 19
- Zugfestigkeit 282
- Zugöse einer Großgasturbine 31
- Zugprobe 35
- Zugüberbeanspruchung 37
- Zugversuch 24
- Zuleitungsrohrbruch 98
- Zunder 36
- Zunderreste 57
- Zusammenwirken von Fehlerquellen 128